

## دراسة تأثير نظام التحكم الموحد بجريان الاستطاعة على أداء الحاكمة المسافية المستخدمة في حماية خط النقل

هاني أحمد إبراهيم\*<sup>1</sup> مصطفى الحزوري<sup>2</sup> حسان السويدان<sup>3</sup>

<sup>1</sup>. طالب دراسات عليا (دكتوراه) مهندس، قسم هندسة الطاقة الكهربائية - كلية الهندسة الميكانيكية والكهربائية، جامعة دمشق، [hani89.ibrm@damascusuniversity.edu.sy](mailto:hani89.ibrm@damascusuniversity.edu.sy)

<sup>2</sup>. أستاذ ، دكتور ، مهندس في قسم هندسة الطاقة الكهربائية - كلية الهندسة الميكانيكية والكهربائية، جامعة دمشق، [moustafa.hazouri@damascusuniversity.edu.sy](mailto:moustafa.hazouri@damascusuniversity.edu.sy)

<sup>3</sup>. أستاذ ، دكتور ، مهندس في قسم هندسة الطاقة الكهربائية-كلية الهندسة الميكانيكية والكهربائية، جامعة دمشق، [hassan.sowidan@damascusuniversity.edu.sy](mailto:hassan.sowidan@damascusuniversity.edu.sy)

### الملخص:

استخدمت أجهزة نقل التيار المتباوب المرنة FACTs مؤخراً بشكل واسع في خطوط النقل بهدف تحسين تدفق القدرة الكهربائية وتحسين استقرار منظومة القدرة الكهربائية ومميزاتها المختلفة والمتحدة، لكن وجودها في خطوط النقل أدى إلى بعض التحديات المرتبطة بعمل أجهزة نظام الحماية، حيث تلعب الحاكمة المسافية دوراً هاماً في خطوط النقل كجزء من نظام الحماية الذي يجب أن يؤخذ بعين الاعتبار، فوجود أجهزة الـ FACTs يسبب تغير في الممانعة المقاسة من قبل الحاكمة المسافية، والذي يمكن أن يسبب فصل خط نقل غير مناسب أو عمل الحاكمة بشكل غير مناسب، إذ من المعروف أن الأداء الخاطئ لنظم الحماية يمكن أن يؤدي إلى مشاكل في الشبكة الكهربائية تصل حتى التعتيم الكامل بما لهذا من عواقب سلبية على المستهلكين واقتصاد البلد، لذلك ترتب على ذلك تحليل أداء ودراسة تأثير هذه الأجهزة على عمل الحاكمة المسافية تحت مختلف الظروف والشروط.

الهدف من هذا العمل دراسة تأثير جهاز التحكم الموحد بجريان الاستطاعة الـ UPFC المستخدم لتحسين استقرار منظومة القدرة الكهربائية على أداء الحاكمة المسافية، حيث تم في هذا البحث تحليل تأثير جهاز التحكم الموحد بجريان الاستطاعة يربط لخط نقل قدرة على أداء حاكمة الحماية المسافية الموجودة بداية الخط النقل باستخدام برنامج الـ Matlab/Simulink، حيث تم في بيئة برنامج الـ Matlab/Simulink محاكاة الحاكمة المسافية وجهاز التحكم الموحد بجريان الاستطاعة وخط النقل وتم دراسة حالة حدوث عطل على خط النقل وتقييم أداء الحاكمة.

أظهرت النتائج تغيير الممانعة المقاسة من قبل حاكمة الحماية المسافية، وبالتالي إمكانية التشغيل غير موثوق للحاكمة المسافية في حالة وجود جهاز التحكم الموحد بجريان الاستطاعة الـ UPFC ما لم يؤخذ بعين الاعتبار مسبقاً في مرحلة التغيير للحاكمة المسافية.

**الكلمات المفتاحية:** أجهزة نقل التيار المتباوب المرنة، الحاكمة المسافية، جهاز التحكم الموحد بجريان الاستطاعة، محاكاة الحاكمة المسافية، محاكاة UPFC، برنامج Matlab، برنامج عطل.

تاريخ الاداع : 2023/4/6

تاريخ القبول: 2023/9/25



حقوق النشر: جامعة دمشق -

سورية، يحتفظ المؤلفون بحقوق

النشر بموجب CC BY-NC-SA

## Study of the Effect of the Unified Power Flow Control System on the Performance of the Distance Relay Used in the Transmission line

**Hani Ahmad Ibrahim<sup>\*1</sup> Mustafa Alhazure<sup>2</sup> Hasan Alsuedan<sup>3</sup>**

<sup>\*1</sup>. Postgraduate Student, Eng, Damascus University, Faculty of Mechanical and Electrical Engineering-Department of Electrical Power Engineering, [hani89.ibrm@damascusuniversity.edu.sy](mailto:hani89.ibrm@damascusuniversity.edu.sy)

<sup>2</sup>. Professor, Department of Electrical Power Engineering - Faculty of Mechanical and Electrical Engineering, Damascus University.

[moustafa.hazouri@damascusuniversity.edu.sy](mailto:moustafa.hazouri@damascusuniversity.edu.sy)

<sup>3</sup>. Professor, Dr, Eng, Department of Electrical Power Engineering-Faculty of Mechanical and Electrical Engineering, Damascus University. [hassan.sowidan@damascusuniversity.edu.sy](mailto:hassan.sowidan@damascusuniversity.edu.sy).

### Abstract:

Flexible Alternating Current Transmission devices (FACTs) have recently been widely used in transmission lines with the aim of improving the flow of electric power and improving the stability of the electric power system and its various and many advantages, but its presence in transmission lines has led to some challenges related to the work of protection system devices, where the distance relay plays an important role in transmission lines. Transmission as part of the protection system that must be taken into account, the presence of FACTs devices causes a change in the impedance measured by the distance relay, which can cause improper transmission line disconnection or improper operation of the relay, as it is known that the wrong performance of protection systems, It can lead to even electrical network problems Complete blackout, with its negative consequences for consumers and the country's economy, therefore it resulted in analyzing the performance and studying the impact of these devices on the work of the distance relay under various circumstances and conditions.

The aim of this work is to study the effect of the UPFC Unified Power Flow Control device used to improve the stability of the electric power system, where in the Matlab/Simulink program environment, the distance relay, the unified power flow control device, and the transmission line were simulated, and the case of a fault on the transmission line was studied and the performance of the relay was evaluated.

The results showed a change in the visible measured impedance by the distance relay, and thus the possibility of unreliable operation of the distance relay in the presence of such devices unless taken into account in advance in the calibration stage of the distance relay.

### Keywords:

Flexible Alternating Current Transmission devices, Distance relay, Unified Power Flow Control system, Distance relay simulation, UPFC simulation, MATLAB program, Fault.

Received: 6/4/2023  
Accepted: 25/9/2023



**Copyright:** Damascus University- Syria, The authors retain the copyright under a

**CC BY- NC-SA**

تم في هذا البحث محاكاة الحاكمة المسافية وجهاز التحكم الموحد في بيئة برنامج Matlab/Simulink، بينت النتائج تغير الممانعة المقاسة من قبل حاكمة الحماية المسافية بوجود جهاز التحكم الموحد بجريان الاستطاعة.

### 1- الهدف objective :

يتلخص هدف البحث في النقاط الرئيسية التالية:

- ﴿ دراسة تأثير جهاز التحكم الموحد بجريان الاستطاعة على أداء الحاكمة المسافية المركبة على خط النقل. ﴾
- ﴿ صياغة النموذج الرياضي لمعايرة إعدادات الحاكمة المسافية بوجود جهاز التحكم الموحد بجريان الاستطاعة. ﴾
- ﴿ محاكاة خط النقل والحاكمة المسافية وجهاز التحكم الموحد بجريان الاستطاعة وذلك باستخدام برنامج الـ Matlab. ﴾

### 2- الدراسة المرجعية: Reference study

يوجد العديد من الأبحاث المرتبطة بموضوع البحث منها:

درس الباحثون Gorakshanath, A, Ganesh, P, & 400[kV] T Mohan, أداء الحاكمة المسافية لخط نقل [kV] مع/بدون وجود جهاز Statcom، استخدم الباحثون طريقة برمجية في بيئة برنامج الـ Matlab وخوارزمية محددة لتحليل أداء الحاكمة، ناقش الباحثون تغيير موقع جهاز Statcom وموقع حدوث عطل طور مع الأرض، وجد الباحثون أن وجود جهاز Statcom في حلقة العطل له تأثير على أداء الحاكمة المسافية وسبب عمل الحاكمة في منطقة عمل غير مناسبة (Gorakshanath et al.,2014,8). ومن ناحية أخرى درس الباحثان Mohamed, Z, & Abdelaziz, C تأثير جهاز Sccc على أداء الحاكمة المسافية لخط نقل [kV] 220 مع الأخذ بعين الاعتبار وجود مقاومة عطل، قام الباحثان بتحليل حساب الممانعة المقاسة من قبل الحاكمة المسافية بطريقة رياضية عند حدوث عطل طور مع الأرض، توصل الباحثان أن الممانعة المقاسة مرتبطة بموقع العطل وبارمترات جهاز Sccc و بارمترات دارة التتابع (الموجبة و السالبة والصفرية) ونسبة

### المقدمة: Introduction

تتعرض خطوط نقل الطاقة الكهربائية أثناء عملها للعديد من الأعطال المتاظرة وغير المتاظرة، والتي تؤدي إلى انقطاع الطاقة الكهربائية عن الأجزاء التي تغذيها هذه الخطوط وحدوث مشاكل في استقرار الشبكة، وقد تؤدي إلى الانهيار التام، الأمر الذي يستلزم استخدام أجهزة حماية لاكتشاف هذه الأعطال وتصنيفها وعزلها عن الشبكة حفاظاً على الأرواح والمعدات، ومن أهم أجهزة الحماية المستخدمة لحماية خطوط النقل هي الحاكمة المسافية والتي تعمل على تصنيف الأعطال وتحديد مكان حدوثها وتعتبر هاتين الخصائص على درجة عالية من الأهمية، وخاصة أن خطوط نقل الطاقة الكهربائية تمت لمسافات طويلة تصل لمائات الكيلومترات فتحديد مسافة العطل يسهل سرعة اكتشافه و إجراء الصيانة اللازمة له (الجابي وأخرون، 2015، 95).

يعتبر نظام القدرة الكهربائي من الأنظمة الضخمة والمعقدة لاحتوائه على عدد كبير من محطات التوليد و التحويل وخطوط النقل والتوزيع وأجهزة التحكم، حيث أصبح من الصعب جداً الحفاظ على نظام مستقر مع التغيرات التي قد يشهدها النظام لذلك فمن المهم جداً تحسين استقرار نظام القدرة الكهربائي، التطور الحديث في نظام القدرة الكهربائي ينصب على تركيب أجهزة نقل التيار المتناوب المرنة في أماكن مختلفة حيث تساهم هذه الأجهزة في تحسين تدفق القدرة الكهربائية إلى جانب تحسين الاستقرار، يعد ربط هذه الأجهزة مع الشبكات الكهربائية من الموضوعات المعاصرة والتي ما تزال محظ اهتمام الباحثين، يأتي هذا البحث ليضيف على أحد المواضيع العلمية لربط أحد أجهزة نقل التيار المتناوب المرنة وتأثيرها على نظام الحماية لخطوط النقل .

في هذا البحث نقوم بدراسة تأثير جهاز التحكم الموحد بجريان الاستطاعة الـ UPFC على أجهزة حماية خطوط النقل وبشكل خاص تأثيرها على حاكمة الحماية المسافية، ويشمل دراسة تأثير تغيير موقع العطل على قراءات الحاكمة المسافية.

ثانية، لذلك تتمتع حواكم الحماية بخصائص وهي: التشخيص الدقيق للمشكلة وسرعة الاستجابة وتقليل الاضطرابات في نظام القدرة ولتحقيق هذا الهدف يجب دراسة واختبار جميع أنواع الأعطال والحالات غير الطبيعية التي يمكن أن تحدث، كما يجب تحليل الاستجابة المطلوبة لكل حادثة من الحوادث الحاصلة وتصميم معادلات الحماية لتجهيز الاستجابة المطلوبة، يتم تركيب أجهزة الحماية في الشبكة لحماية الجزء المعطل من تفاقم العطل ومنع انتشاره وحماية النظام من حالات التشغيل غير الطبيعية الناتجة عن هذه الأعطال، كما تعمل أجهزة الحماية على تحديد وتصنيف العطل وتحديد مكانه عن طريق تحليل منهج لبارامترات الشبكة (التوترات/التيارات)، ومن ثم إرسال إشارة فصل إلى القواطع المعينة من أجل فصل العطل وعزل الجزء المعطل (John et al., 2022, 7).

**وظيفة نظام الحماية:** Protection system function  
إن وظيفة نظام الحماية ليست منع حدوث العطل فذلك شبه مستحيل، لأن الكثير من الأعطال أسبابها قد تكون خارجية لا قدرة لأجهزة الحماية على منعها، لكن دور نظام الحماية هو سرعة فصل الأعطال بدقة وذلك بواسطة حاكمة الحماية الـ Protective relay وبنفسه أكثر نقول إن دور نظام الحماية هو:

- اكتشاف الأعطال، تحديد مدى خطورتها ومكانها بدقة عالية.
- إرسال إشارة الفصل Trip signal إلى القواطع الكهربائية Circuit breakers المطلوب فتحها أو إرسال إشارة منع التوصيل Block signal للقواطع المطلوب منع توصيلها.
- عزل المنطقة أو العناصر المتأثرة بالعطل فقط، وذلك بفتح القواطع المناسبة، والمحافظة على استمرارية التشغيل لباقي المنظومة السليمة.
- العملية تبدأ من دخول ما يعرف بـ Relaying signals إلى الحاكمة الـ Relay بواسطة محول التيار / التوتر، ثم تقوم

تحويل محولات التوتر والتيار، قارن الباحثان التحليل الرياضي مع التحليل البرمجي في بيئة برنامج الـ Matlab أظهرت النتائج تأثير تغيير مقاومة العطل مع وجود Mohamed et جهاز Sccc على أداء الحاكمة المسافية (al., 2014, 8).

### 3- مواد وطرق البحث: Research materials and methods

لقد اعتمدنا في هذا البحث طريقة النمذجة والمحاكاة لحاكمة المسافية ولجهاز التحكم الموحد بجريان الاستطاعة باستخدام بيئة الـ Simulink في برنامج الـ Matlab، حيث تم الاعتماد على معادلات وتتابع العمل الخاصة بالحاكمة المسافية لبناء النموذج الخاص بها.

### 4- نظام الحماية في نظام القدرة الكهربائية:

#### Protection system in electrical power system

تعد خطوط النقل من العناصر المهمة جداً في نظام القدرة الكهربائي، في بداية الأمر كانت تستخدم الحاكمة ضد زيادة التيار والتسلسلي الأرضي لحماية خطوط النقل كحماية أساسية، وخصوصاً في حالة التغذية الخطية من جهة واحدة، ولكن مع وجود خطوط متوازية وتغذية من أكثر من اتجاه فإنه يصعب الاعتماد على هذا النوع من الحماية لأنه يفقد عنصر مهم جداً وهو العنصر الاتجاهي، وهو عنصر هام من عناصر الحماية حيث يتم التمييز بين العطل الواقع في منطقة الحماية والعمل خارجها، الحاكمة ضد زيادة التيار والتسلسلي الأرضي لا تملك هذه الخاصية ويحدث الفصل لخطوط أخرى غير التي وقع فيها العطل، فكان لابد من استخدام أجهزة حماية أخرى كحاكمة أساسية في حماية خطوط النقل فكانت الحاكمة المسافية (الجابي وأخرون، 2015، 3939).

مبدأ عمل حاكمة الحماية هو تحديد الحالات غير الطبيعية في نظام القدرة الكهربائي والبدء وبسرعة عالية وقدر الإمكان لإعادة نظام القدرة إلى الحالة الطبيعية مرة أخرى، إن السرعة العالية تتطلب تحسين الاستجابة في أزمنة قليلة تقادس بالميلي

تعد الحاكمة المسافية حماية انقائية ذات ثوثيقية عالية لأنها تعمل على فصل الجزء المعطل من الخط دون غيره، بالوقت الذي توجد هناك حمايات أخرى لا تتحسن لتيار العطل عند حدوث قصر على الخط (J,2018,522).

يستخدم لعمل الحاكمة المسافية معايير مختلفة منها ارتفاع التيار-انخفاض التوتر-تغير الممانعة، إذ إن استخدام معيار ارتفاع التيار يعد الطريقة الأبسط والأسرع لتحديد العطل، ولكن في بعض الحالات فإن تيار العطل قد يكون أصغر من قيمة تيار الإلاع وذلك بسبب ممانعة المنبع العالية، وبالتالي فإن استخدام معيار انخفاض التوتر في هذه الحالة يعد معيار إضافي لإلاع الحاكمة، وفي أغلب الحواكم المسافية تعتمد معيار تغير الممانعة.

يعتمد مبدأ عمل الحاكمة المسافية وفق تغير الممانعة على مقارنة قيمة الممانعة المقاسة Impedance measurement التي تتغير قيمتها عند حدوث عطل على الخط مع ممانعة أخرى تسمى ممانعة المعايرة / الضبط أو الوصول Setting impedance، كما هو موضح بالشكل (1) (جيلاني، 2019)، (178) حيث:

VT: محولة توتر. CT: محولة تيار.

$Z_{seen}$ : الممانعة المنظورة من الحاكمة المسافية.

$I_F$ : تيار العطل.  $Z_L$ : ممانعة الخط.

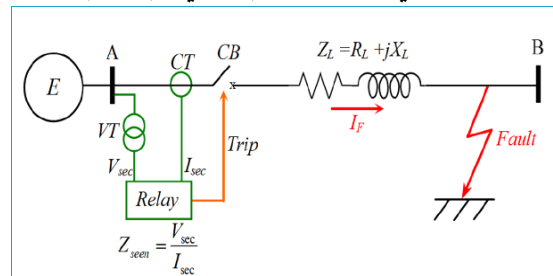
E: منبع القدرة الكهربائية.

CB: القاطع المرتبط بالحاكمة المسافية.

إذا كانت الممانعة المقاسة تساوي أو أقل من ممانعة الوصول فإن الحاكمة تعطي أمر لفصل القاطع الآلي المرتبط بالمنطقة المعطلة وبالتالي إزالة هذا الجزء المعطل، أما إذا كانت الممانعة المقاسة أكبر من ممانعة الوصول فإن الحاكمة لا تعطي أي أمر فصل.

تقوم الحاكمة المسافية بحساب الممانعة من نقطة الحاكمة إلى نقطة حصول العطل، حيث أن هذه الممانعة تتناسب طرداً مع

الحاكمة بناءً على دراسة هذه الإشارات بإرسال إشارة فصل إلى ملف فصل القاطع ليتم فتحه، الزمن الذي يأخذه جهاز الحماية ليصل إلى قرار Trip or Block يكون في العادة سريع جداً وفي حدود 20 ملي ثانية أو أقل، قد يضاف إليه زمن تأخير Delay time في بعض أنواع الحواكم، بينما الزمن الذي يستغرقه القاطع لإتمام فتح الدارة يكون أكبر من ذلك ويتراوح بين 50 إلى 100 ملي ثانية ومجموع الزمنين يمثل الوقت الحقيقي لإزالة العطل (جيلاني، 2019)، (23).



الشكل (1) خط نقل AB مع وجود حاكمة مسافية بداية الخط

يتم حماية نظام القدرة الكهربائية بمجموعة كبيرة من حواكم الحماية المختلفة الوظائف والأنواع التي يتم تغذيتها أما بالتيار أو بالتوتر أو بالتيار والتوتر معاً من محولات التيار ومحولات التوتر وتقوم هذه المحولات بتقليل قيمة التيار والتوتر إلى المستوى المطلوب لعمل حواكم الحماية فضلاً عن العزل الفيزيائي لهذه الحواكم عن التوترات العالية والفائقة، وهي تصنف أما حسب الجيل أو حسب الوظيفة. الحاكمة المسافية تستخدم التوتر والتيار كمدخلات وكذلك زاوية الممانعة كاتجاهية تعمل عندما تقل قيمة الممانعة عن قيمة الضبط.

## 5- الحاكمة المسافية: Distance relay:

تعتبر أجهزة الحواكم المسافية هي الأهم ضمن منظومة أجهزة الحماية المستخدمة في خطوط نقل القدرة الكهربائية خاصة في التوترات العالية، حيث تتميز بميزة هامة مقارنة بأجهزة حواكم زيادة التيار وهي القدرة على تحديد مكان العطل وليس فقط اكتشاف العطل.

مجموع ممانعة الخط مضاد إليه ممانعة المحول الموجود في المنطقة عند نهاية الخط المراد حمايته، وتتجدر الإشارة هنا إلى أن زمن فصل المنطقة الثالثة يكون في حدود نصف ثانية، وربما يصل إلى ثانية أي أنها تعمل بتأخير زمني  $T_3$ .

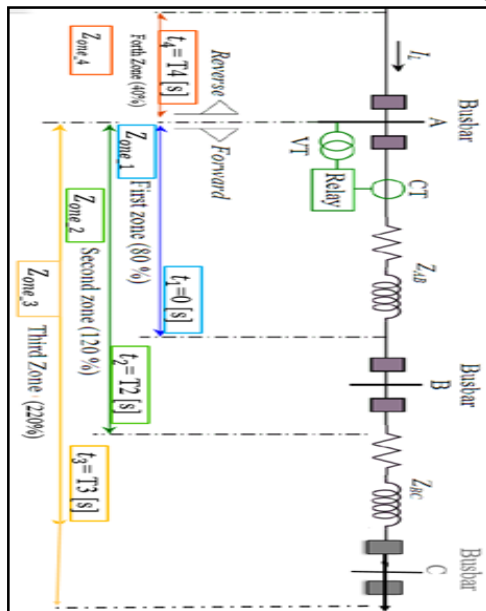
$$\text{Zone-3} = (Z_{AB}) + 0.2 * (Z_{CD}) \quad (3)$$

#### 6-4-المنطقة الرابعة: Zone-4

في بعض الحواكم يضاف منطقة رابعة إلى المناطق الثلاث السابقة، هذا المنطقة تعمل في المنطقة الخلفية للحاكمة على عكس جهة عمل المناطق الثلاث السابقة، يتم ضبطها بحيث تغطي 20% إلى 40% من طول الخط المراد حمايته ويفصل بتأخير زمني  $T_4$ .

$$\text{Zone-4} = (0.2 \div 0.4) * (Z_{AM}) \quad (4)$$

يوضح الشكل (2) ضبط مناطق الحماية للحاكمة المسافية (جيلاني، 2019) :



الشكل (2) ضبط مناطق الحماية للحاكمة المسافية.

تتوقف طريقة حساب الممانعة المنظورة من قبل الحاكمة المسافية على نوع العطل الحاصل على خط النقل، فليس صحيحاً لحساب الممانعة، أن يتم قسمة توتر العطل الطوري على تيار العطل الطوري في جميع الحالات وإنما في حالة واحدة فقط وهي حالة الأعطال المتاظرة، أما في حالة

مسافة العطل فال التالي يمكن معرفة مسافة العطل بمعرفة ممانعته  $Z_{seen}$ .

#### 6- ضبط مناطق الحاكمة المسافية:

##### Distance relay zones setting

بهدف دقة عمل الحاكمة المسافية والتغلب على أخطاء القياس في محولات التوتر والتيار، يتم تقسيم المسافات بين قضبان تجميع خطوط نقل القدرة الكهربائية إلى مناطق حماية متعددة وهي (جيلاني، 2019)، (213) :

##### 6-1-المنطقة الأولى: Zone-1

يتم ضبطها بحيث تغطي 80% إلى 85% فقط من طول الخط المراد حمايته وتفصل لحظياً، وتتوقف النسبة المختارة على دقة أجهزة القياس المستخدمة.

$$\text{Zone-1} = (0.8 \div 0.85) * (Z_{AB}) \quad (1)$$

##### 6-2-المنطقة الثانية: Zone-2

يتم ضبطها بطرق مختلفة تعتمد على طول الخط التالي للخط المراد حمايته، وشكل الشبكة المتصل بها ( خاصة عندما يكون هناك أكثر من خط خارج من نفس الحماية)، لكن بكل الأحوال يجب أن تغطي المنطقة الثانية الخط الأول (الأساسي) كله بالإضافة إلى نسبة من الخط التالي وهو يمثل 20% إلى 50% من الخط التالي، وفي نفس الوقت فإن المنطقة الثانية تمثل حماية احتياطية في حال عدم عمل الحاكمة في منطقة الحماية الأولى، وتتجدر الإشارة هنا إلى أن زمن فصل المنطقة الثانية يكون في حدود ربع ثانية، وربما يصل إلى نصف ثانية أي أنها تعمل بتأخير زمني  $T_2$  على عكس المنطقة الأولى الذي تفصل لحظياً.

$$\text{Zone-2} = (Z_{AB}) + (0.2 \div 0.5) * (Z_{BC}) \quad (2)$$

##### 6-3-المنطقة الثالثة: Zone-3

تغطي الخط المراد حمايته كاملاً بالإضافة للخط التالي له بالكامل أيضاً (قد يضاف أيضاً 20% من طول الخط الثالث) أو (قد يضاف 25% من ممانعة المحول المركب نهاية الخط التالي)، ويشترط أن تكون ممانعة المنطقة الثالثة أقل من

حيث:

$V_A, V_B, V_C$  : توترات الأطوار الثلاثة.

$I_A, I_B, I_C$  : تيارات الأطوار الثلاثة.

$$K_0 = (Z_0 - Z_1) / Z_1. \quad (5)$$

عامل التعويض المتبقى.

$Z_0$  : ممانعة التابع الصفرية.

$Z_1$  : ممانعة التابع الموجبة.

$I_0$  : تيار التابع الصفرى.

$$I_0 = (I_A + I_B + I_C) / 3. \quad (6)$$

الأعطال غير المتاظرة فيتم استخدام طريقة المركبات المتاظرة وهي طريقة لتحليل و دراسة الأعطال غير المتاظرة، وليس طريقة لتصميم الحاكمة المسافية بمعنى أن الحاكمة المسافية ستظل تقرأ قيم التوترات والتيارات لجميع أطوار خط النقل، لكن بناء على التحليل بطريقة المركبات المتاظرة فإن المعادلات المستخدمة داخل الحاكمة المسافية في حالة الأعطال غير متاظرة لكل نوع من أنواع الأعطال ستختلف عن المعادلات المستخدمة في حالة الأعطال المتاظرة (جياني، 2019، 179).

يتم ضبط الحاكمة المسافية بناءً على ممانعة التابع الموجبة، والتي تمثل الممانعة الحقيقية بين موقع الحاكمة وموقع العطل، بينما تستخدم ممانعة التابع الصفرية عند وجود عطل أرضي.

مما تقدم سابقاً يتم حساب الممانعة المنظورة من الحاكمة المسافية حسب نوع العطل الحاصل على خط النقل في حالة الأعطال غير متاظرة وذلك وفق الجدول (1) (جياني، 2019، 187) :

الجدول (1) حساب الممانعة المنظورة من الحاكمة المسافية في حالة الأعطال غير متاظرة

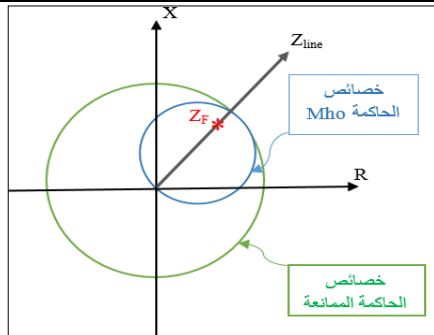
Type	$V_R$	$I_R$	$Z_{seen}$
A - G	$V_A$	$I_A +$	$V_A / (I_A +)$
B - G	$V_B$	$I_B$	$V_B / (I_B +)$
C - G	$V_C$	$I_C +$	$V_C / (I_C +)$
A-B/	$V_A - V_B$	$I_A - I_B$	$(V_A - V_B) /$
B-C/ B-C-G	$V_B - V_C$	$I_B - I_C$	$(V_B - V_C) / (I_B - I_C)$
C-A/ C-A-G	$V_C - V_A$	$I_C - I_A$	$(V_C - V_A) / (I_C - I_A)$
A-B-C	$V_A$ or $V_B$ or $V_C$	$I_A$ or $I_B$ or $I_C$	$V_A / I_A$ or $V_B / I_B$ or $V_C / I_C$

## 7-أنواع أجهزة الحاكمة المسافية: Types of distance relay :

هناك أنواع عديدة لأجهزة الحاكمة المسافية تختلف أساساً فيما بينها في حدود(خصائص) عمل الحاكمة، والتي تختلف تبعاً لنوع الجهاز وطريقة تصنيعه وهي في الغالب تكون دوائر أو متوازي مستويات أو حتى شكل متعرج حسب متطلبات التشغيل، تتميز أجهزة الحماية الرقمية بالقدرة على تعديل شكل هذه المناطق والحدود بأشكال مختلفة على عكس أجهزة الحماية الإلكتروميکانية، والتي تكون في الغالب تمثل فيها هذه المناطق بواسطة عدة دوائر ثابتة الشكل، وهو ما يعطي أجهزة الحاكمة المسافية (J,2018,524) :

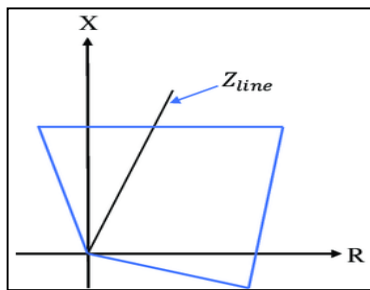
### 1-7 حاكمة الممانعة Impedance relay

أول وأبسط أنواع أجهزة الحاكمة المسافية، حدود عمل الحاكمة عبارة عن دائرة كما في الشكل (3) (جياني، 2019، 198)، الفكرة الأساسية تقوم الحاكمة بحساب الممانعة من مكان الحاكمة إلى نقطة العطل لحصل على قيمة ممانعة العطل  $Z_F$  وتنخذ الحاكمة قرار الفصل إذا وقعت القيمة داخل حدود عمل الحاكمة كما في حالة  $Z_{FI}$ :



الشكل (5) خصائص عمل الحاكمة Mho.

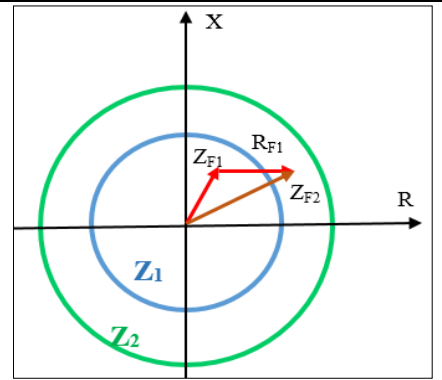
تعتبر الحاكمة المضلعة: Quadrilateral relay نوع من أنواع الـ relay وهي تمثل أسلوباً جديداً للتغلب على مشكلة  $R_F$  وتأثيرها الخاطئ على القياس، يظهر الشكل (6) (جيلاني، 2019، 208) خصائص الحاكمة المضلعة:



الشكل (6) خصائص عمل الحاكمة المضلعة

**3- حاكمة السماحية Admittance relay**  
النوع الأشهر من أجهزة الحماية المسافية وتعرف أيضاً بـ Mho relay، حيث أن المتجه الذي يمثل  $Z_{Fault}$  دائمًا يكون أقرب للمنحي الرأسي بزاوية تصل إلى حوالي 60 درجة، كما في الشكل (5) (جيلاني، 2019، 200).

أكثر الحوافم Mho انتشاراً هي حاكمة Mho ذاتية الاستقطاب: Polarized Mho relay وهي ذات خصائص تشغيل دائيرية، يستخدم فيه إشارة جديدة تسمى توتر الاستقطاب  $V_{Polarized}$  بالإضافة إلى توتر وتيار العطل  $V_F - I_F$ .  
هذا النوع نجح في التغلب على مشكلة وقوع نقطة العطل خارج منطقة التشغيل بسبب وجود مقاومة العطل  $R_F$ .

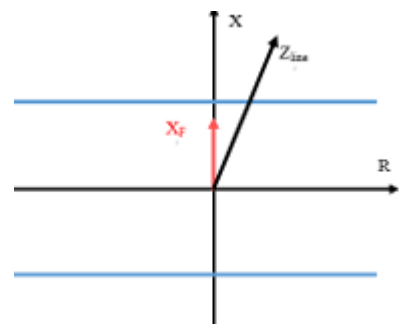


الشكل (3) خصائص عمل حاكمة الممانعة

يتأثر أداء الحاكمة بشدة إذا وقع العطل خالل مقاومة أرضية  $R_F$ ، وفي هذه الحالة نقطة العطل ستقع خارج حدود الدائرة التي تمثل المنطقة Zone-1، وتكون قيمة ممانعة العطل  $Z_{F2}$  وبالتالي فإن الحاكمة سترى نفسها غير مسؤولة كحماية أساسية عن فصل هذا العطل، لكنها ستتعامل معه كحماية احتياطية Zone-2، وبالتالي يفصل العطل بعد زمن تأخير وهذا بالطبع شيء غير مرغوب فيه.

#### 2-7- حاكمة المفاعة Reactance relay:

هذا النوع يمثل حالة خاصة من الـ Impedance relay حيث يهتم هذا الجهاز فقط بقياس المفاعة  $X$  من مكان الحاكمة إلى نقطة العطل وتتخذ الحاكمة قرار الفصل إذا وقعت القيمة داخل حدود عمل الحاكمة (الخط الأزرق) كما في حالة  $X_F$  كما في الشكل (4) (جيلاني، 199، 2019)، وبالطبع فالميزة الأساسية له أنه لا يتأثر مطلقاً بقيمة مقاومة العطل  $R_F$  كما تتأثر حاكمة الممانعة.



الشكل (4) خصائص حاكمة المفاعة.

التوتر عند الحاكم  $R_1$  هو:

$$V_R = I_1 * Z_L + (I_1 + I_2) * Z_F \quad (7)$$

التيار المار بالحاكمة:

$$I_R = I_1 \quad (8)$$

بناءً عليه الممانعة المنظورة من الحاكمة:

$$Z_{seen} = Z_L + Z_F \left[ 1 + \frac{I_2}{I_1} \right] \quad (9)$$

ولكن في الحقيقة تكون الممانعة:

$$Z_{seen} = Z_L + Z_F \quad (10)$$

وهي أقل من الممانعة المنظورة من الحاكمة.

### 5-8 تأرجح الاستطاعة :Power Swing

ظاهرة تأرجح الاستطاعة تحدث غالباً بسبب تغير في قيم زوايا توترات المولادات المتصلة بالشبكة (تتغير  $\delta$  angle وهي الزاوية بين التوتر عند الإرسال والتوتر عند الاستقبال) فتتأرجح الاستطاعة بينهما، وهي من الظواهر التي تسبب مشاكل عديدة وتشغيل خاطئ لأجهزة الحواكم المسافية، كما قد تحدث هذه الظاهرة عقب حدوث اضطراب ضخم في الشبكة.

### 6-8 أجهزة نقل التيار المتباوب المرنة: FACTs

#### FACTs: Flexible Alternative Current Transmission devices.

تستخدم أجهزة نقل التيار المتباوب المرنة في نظم الطاقة الكهربائية وذلك لزيادة سعة خطوط النقل وكذلك تحسين حدود الاستقرار الديناميكي والعاير، وبالرغم من ذلك فإن استخدام أجهزة نقل التيار المتباوب المرنة تؤثر سلباً على أداء الحاكم المسافية المستخدمة.

لقد تم اقتراح مفهوم أجهزة الـ FACTs من قبل الباحث N.G.Hingorani في عام 1988م، والذي يعبر عن قابلية التحكم في أنظمة نقل القدرة الكهربائية عن طريق استخدام الكترونيات القدرة الكهربائية، يوجد عدة أنواع من أجهزة الـ FACTs، والتي يمكن أن تصنف حسب طريقة توصيلها مع خطوط النقل إلى أجهزة سلسلية مثل جهاز الـ TCSC أو أجهزة Thyristor Controlled Series Capacitors

## 8- الظواهر المؤثرة على الحاكمة المسافية:

### Phenomena affecting the distance relay

رغم المحاولات السابقة للوصول إلى الأداء الجيد لأجهزة الحواكم المسافية فلا يزال هناك عدة ظواهر تؤثر على أداء الحواكم المسافية من أهمها (جيالاني، 2019)، (214) :

9-1) Over reach.

9-2) under reach.

9-3) Parallel lines.

9-4) In-Feed.

9-5) Power Swing.

9-6) FACTs.

### 1- تحت الوصول: Over reach

في هذه الحالة الحاكمة المسافية ترى العطل البعيد كأنه قريب نتيجة أخطاء أجهزة القياس.

### 2- فوق الوصول: Under reach

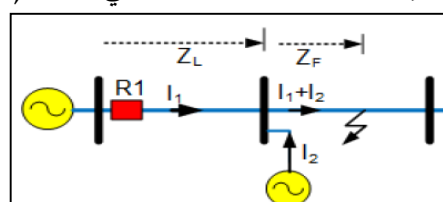
في هذه الحالة الحاكمة المسافية ترى العطل القريب كأنه بعيد.

### 3- الخطوط المتوازية: Parallel lines

تصنف على أنها من مشاكل الـ Over-reach، ففي حالة الخطوط المتوازي، تتأثر الممانعة التي تراها الحاكمة تتأثر بما يُعرف بـ Mutual Impedance بين الخطين ويرمز لها بالرمز  $Z_m$ ، وعند خروج أحد الخطين وبقاء الخط الآخر دون تعديل في قيم الضبط، تقوم الحاكمة الذي بقت في الخدمة بطرح قيمة  $Z_m$  من قيمة ممانعة أي عطل، رغم أن  $Z_m$  لم يعد لها وجود، وبالتالي فنحن أمام مشكلة Over-reach لأن الجهاز يرى ممانعة أقل من الممانعة الحقيقة.

### 4-8 In -Feed

تصنف على أنها من مشاكل الـ Under reach وتنظير عند وجود تغذية إضافية عند نهاية الخط كما في الشكل (7) :

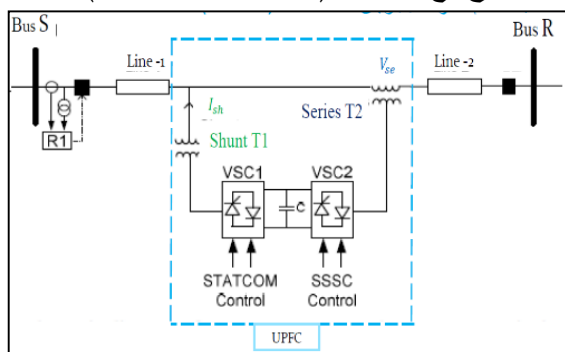


الشكل (7) مشكلة الـ In -Feed

المعرجان موصلان معاً بطريقة back-to-back بواسطة وصلة مشتركة DC مع مكثفة تخزين.

المعرض الأول: المعرض التسلسلي التزامني الساكن SSSC: منبع توتر مستمر يربط على التسلسل مع الخط عن طريق محولة، يستخدم المعرض التسلسلي لحقن توتر منفصل متحكم به بشكل متزامن مع تيار الخط من أجل زيادة أو إنفاس الاستطاعة الردية الكلية عبر خط النقل، كما يقوم بحقن توتر متزامن مع توتر نهاية خط النقل من أجل تنظيم جريان الاستطاعة الحقيقة، يمكن تمثيل الـ SSSC كمنبع توتر متزاوب تسلسلي ذي مطال متغير متحكم به يوصل على التسلسل مع خط النقل.

بينما المعرض الثاني: المعرض المتزامن الساكن: Statcom: منبع توتر يربط على التفرع مع الخط من خلال محولة، يعمل المعرض التفرعي على تنظيم التوتر في خط النقل وذلك عن طريق توليد أو امتصاص استطاعة ردية عند نقطة توصيله مع الخط، كما يعمل على توليد أو امتصاص استطاعة ردية أو فعلية متحكم بها بناء على طولية توتر الخرج و زاويته، يمكن تمثيل الـ Statcom كمنبع تيار متزاوب متحكم به يوصل على التفرع مع خط النقل (N et al.,(2000),301).



الشكل(8) جهاز الـ UPFC يصل بين قضيبين تجميع.

يوضح الشكل (8) جهاز الـ UPFC يصل بين قضيبين تجميع عبر محولة تفرعية  $T_1$  ومحولة تسلسلية  $T_2$  (M et al. (2016),11)

تقرعية مثل جهاز الـ Static Synchronous STATCOM أو أجهزة مختلطة مثل جهاز الـ UPFC Compensator (N et al., (2000), (Unified Power Flow Controller .(44

## 9-جهاز التحكم الموحد بجريان الاستطاعة:

### Unified Power Flow Controller device

لقد تم ابتكار جهاز التحكم الموحد بجريان الاستطاعة UPFC من قبل الباحث Gyugyi L. في عام 1991م، الاستخدام الرئيسي له هو التحكم بجريان الاستطاعة الفعلية والردية في خطوط نقل القدرة الكهربائية بهدف تحميل وتشغيل نظام القدرة الكهربائية بشكل اقتصادي وموثوق ومرن، يؤمن جهاز الـ UPFC تحكم كامل بالمحددات التي تؤثر على جريان الاستطاعة الفعلية والردية في خطوط النقل (ممانعة الخط، مطال زاوية الطور للتوتر) (N et al.,(2000),299).

من أهم ميزات جهاز الـ UPFC قدرته على التحكم بشكل لحظي وانتقائي بجميع البارامترات المؤثرة في جريان الاستطاعة على خطوط النقل هذه الإمكانيات الفريدة مجتمعة محددة بالصفة " الموحد" في اسم هذا الجهاز ، من ناحية أخرى يمكن لهذا الجهاز أن يتحكم بشكل مستقل بجريان الاستطاعة الفعلية والردية على خط النقل والتوتر على طرفيه.

هناك العديد من المميزات لجهاز الـ UPFC منها:

- التحكم بجريان القدرة على طول خط النقل.
- تعويض الاستطاعة الردية.
- زيادة سعة النقل الأعظمية.
- تنظيم التوتر بشكل أفضل.
- تحسين الاستقرار النظام.
- تحسين جودة الطاقة.
- تثبيط تذبذبات النظام.

يتوضع جهاز الـ UPFC بين قضيبين تجميع (عقدتين) يشار إليهما بعقدة الإرسال وعقدة الاستقبال وهو يتكون من معرجي منبع توتر (VSCs) (Voltage source converters)، وكلا

النقل، وتم تمثيل الدارة  $S_{SSC}$  كمنبع توتر متباوب  $V_{se}$  على التسلسل مع خط النقل.

:  $V_s$

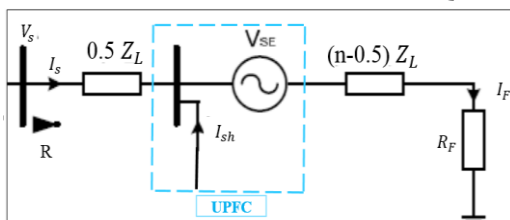
توتر المنبع.  $I_s$  -

مقاومة العطل.  $R_F$  -

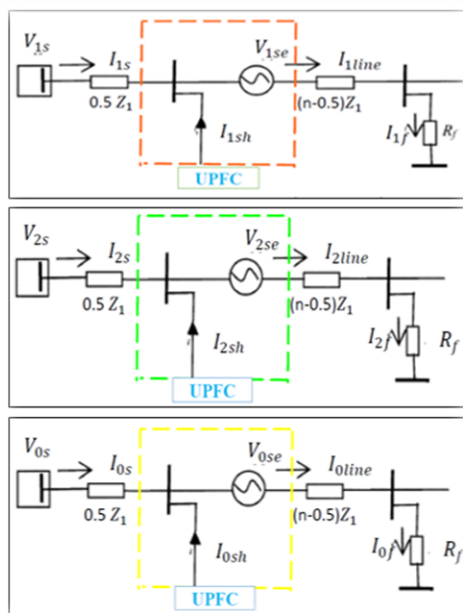
مانعة الخط.  $Z_L$

المسافة بين الحاكمة والطلع بالنسبة لطول الخط  $L$ .

موقع العطل.  $n * L$



الشكل(10) الدارة المكافئة لخط النقل مع وجود الدارة UPFC.



الشكل(11) تمثيل دارة التتابع الموجبة والسلبية والصفيرية عند عطل طور الأرض.

يمكن تمثيل دارة التتابع الموجبة والسلبية والصفيرية مع وجود عطل طور الأرض وفق الشكل (11) (M et al.,(2016),11) (al.,(2016),12) المعادلات الموافقة لكل دارة وفق الآتي على الترتيب:

## 10- تأثير جهاز الدارة UPFC على أداء الحاكمة

Effect of the UPFC device on the performance of the distance relay

distance relay performance

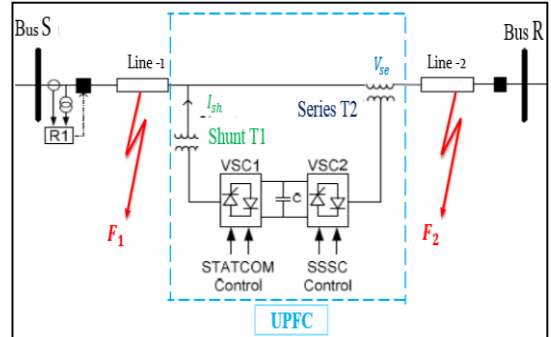
سنقوم بدراسة تأثير جهاز الدارة UPFC على أداء الحاكمة المسافية وفق:

- طريقة رياضية لإيجاد معادلة المانعة المنظورة من قبل الحاكمة المسافية بوجود جهاز الدارة UPFC.

- طريقة المحاكاة Simulation في بيئة برنامج الدارة Matlab.

### 1-10 دراسة تأثير جهاز الدارة UPFC على أداء الحاكمة المسافية بالطريقة الرياضية:

سوف ندرس حالة حصول عطل قبل جهاز الدارة UPFC وحالة عطل بعد جهاز الدارة UPFC مع الأخذ بعين الاعتبار وجود جهاز الدارة UPFC وسط خط النقل والطلع الحاصل هو عطل طور مع الأرض كما في الشكل (M et al.,(2016),11)(9) :



الشكل(9) مكان حصول عطل على خط النقل.

- حالة عطل  $F_1$  قبل الدارة UPFC:

يكون جهاز الدارة UPFC خارج حلقة العطل ولا يؤثر على المانعة المقاسة من الحاكمة المسافية كما في حالة عدم وجود الدارة UPFC.

- حالة عطل  $F_2$  بعد الدارة UPFC:

في هذه الحالة تكون الدارة المكافئة لخط النقل مع وجود الدارة UPFC وفق الشكل (10) (M et al.,(2016),11) (al.,(2016),12) حيث تم تمثيل الدارة UPFC كمنبع تيار متباوب  $I_{sh}$  على التقطيع مع خط

تصبح الممانعة المقاسة من قبل الحاكمة المسافية مع وجود  
الـ UPFC وفق العلاقة:

$$Z_R = nZ_1 + \frac{I_{sh}}{I_{relay}} (n - 0.5)Z_1 + \frac{V_{se}}{I_{relay}} + \frac{I_f}{I_{relay}} R_f \quad (26)$$

شكل عام تعطى الممانعة المقاسة من قبل الحاكمة المسافية

مع وجود الـ UPFC وفق العلاقة:

$$Z_R = nZ_1 + \frac{I_{sh}}{I_{relay}} (n - d)Z_1 + \frac{V_{se}}{I_{relay}} + \frac{I_f}{I_{relay}} R_f \quad (27)$$

d: موقع الـ UPFC من خط النقل (المسافة بين الحاكمة و  
الـ UPFC بالنسبة لطول الخط).

من العلاقة السابقة نجد أن معادلة الممانعة المقاسة من قبل  
الحاكمة المسافية عند حصول عطل طور مع الأرض مع  
وجود الـ UPFC تتكون من أربعة أقسام:

القسم الأول من المعادلة يمثل ممانعة التتابع الموجبة من نقطة  
موقع الحاكمة إلى نقطة موقع حصول العطل، والذي يجب أن  
يكون القيمة الصحيحة للحاكمة المسافية.

القسم الثاني من المعادلة يظهر تأثير الـ Statcom على  
الممانعة المقاسة من خلال التيار التقرعي المحقون من الـ  
Statcom.

القسم الثالث من المعادلة يظهر تأثير الـ Sccc على الممانعة  
المقاسة من خلال التوتر التسلسلي المحقون من الـ Sccc.

القسم الرابع يظهر تأثير مقاومة العطل في حال وجودها على  
الممانعة المقاسة.

علمًا أن معادلة الممانعة المقاسة من قبل الحاكمة المسافية  
بدون وجود الـ UPFC تعطى بالعلاقة:

$$Z_R = \frac{V_S}{I_{relay}} = \frac{V_s}{I_S + \frac{Z_0 - Z_1}{Z_0} I_{S0}} \quad (28)$$

حيث:

$I_0$ : تيار التتابع الطوري الصفرى.

$Z_0$ : ممانعة التتابع الصفرية لخط النقل.

$$V_{1S} = I_{1S} 0.5Z_1 + V_{1se} + I_{1line} (n - 0.5)Z_1 + R_f I_{1f} \quad (11)$$

$$I_{1line} = I_{1S} + I_{1sh} \quad (12)$$

$$V_{2S} = I_{2S} 0.5Z_1 + V_{2se} + I_{2line} (n - 0.5)Z_2 + R_f I_{2f} \quad (13)$$

$$I_{2line} = I_{2S} + I_{2sh} \quad (14)$$

$$V_{0S} = I_{0S} 0.5Z_1 + V_{0se} + I_{0line} (n - 0.5)Z_1 + R_f I_{0f} \quad (15)$$

$$I_{0line} = I_{0S} + I_{0sh} \quad (16)$$

لكن لدينا:

$$V_S = V_{1S} + V_{2S} + V_{0S} \quad (17)$$

$$V_{se} = V_{1se} + V_{2se} + V_{0se} \quad (18)$$

$$I_f = I_{1f} + I_{2f} + I_{0f} \quad (19)$$

$$I_S = I_{1S} + I_{2S} + I_{0S} \quad (20)$$

$$I_{sh} = I_{1sh} + I_{2sh} + I_{0sh} \quad (21)$$

وبالتالي التوتر المقاس عند نقطة الحاكمة:

$$V_S = nI_S Z_1 + nI_{0S} (Z_0 - Z_1) + I_{sh} (n - 0.5)Z_1 + I_{0sh} (n - 0.5) (Z_0 - Z_1) + V_{se} + R_f I_f \quad (22)$$

التيار المار بالحاكمة

$$I_{relay} = I_S + \frac{Z_0 - Z_1}{Z_0} I_{S0} \quad (23)$$

تصبح الممانعة المقاسة من قبل الحاكمة المسافية مع وجود  
الـ UPFC وفق العلاقة:

$$Z_R = \frac{V_S}{I_{relay}} = nZ_1 + \frac{I_{sh}}{I_{relay}} (n - 0.5)Z_1 + \frac{I_{0sh}}{I_{relay}} (n - 0.5) (Z_0 - Z_1) + \frac{V_{se}}{I_{relay}} + \frac{I_f}{I_{relay}} R_f \quad (24)$$

لكن ثانوي المحول التقرعي موصول بشكل مثلي وبالتالي تيار  
التتابع الصفرى المحقون من الـ Statcom يكون معدوم.

$$I_{0sh} = 0 \quad (25)$$

$I_{0sh}$	تيار التابع الصفرى الطوري التفرعى المحققون من جهاز Statcom.	$Z_1$ : ممانعة التابع الموجبة لخط النقل.
$I_{1f}$	مركبة تيار العطل التابع الموجب الطوري.	$Z_2$ : ممانعة التابع السالبة لخط النقل.
$I_{2f}$	مركبة تيار العطل التابع السالب الطوري.	$Z_F$ : ممانعة العطل.
$I_{0f}$	مركبة تيار العطل التابع الصفرى الطوري.	$Z_{seen}$ : الممانعة المنظورة من الحاكمة المسافية.
$L$	طول خط النقل.	$I_{relay}$ : تيار الحاكمة المسافية.
بناءً على التحليل الرياضي السابق فإن استخدم جهاز $\alpha$ -UPFC في خط النقل أدى إلى تغير في الممانعة المقاسة من قبل الحاكمة المسافية والتي يمكن أن تسبب فصل غير مناسب أو عمل الحاكمة بشكل غير مناسب، مما يؤكّد أهمية البحث، وضرورة تحليل وتأثير جهاز $\alpha$ -UPFC على أداء الحاكمة المسافية تحت مختلف الظروف والشروط.		$Z_{1s}$ : ممانعة التابع الموجب لمنبع التغذية.
<b>11-2 دراسة تأثير جهاز <math>\alpha</math>-UPFC على أداء الحاكمة المسافية بطريقة المحاكاة في بيئة برنامج Matlab</b>		$Z_{2s}$ : ممانعة التابع السالبة لمنبع التغذية.
سنقوم بتحليل تأثير جهاز $\alpha$ -UPFC على أداء الحاكمة المسافية في بيئة برنامج Matlab، حيث سنقوم بمحاكاة الحاكمة المسافية وجهاز $\alpha$ -UPFC، ثم ننتقل إلى مرحلة دراسة حالة حصول عطل على خط نقل بوجود جهاز UPFC، ولكن قبل ذلك لابد من توضيح الأمور التالية:		$Z_{0s}$ : ممانعة التابع الصفرى الطوري لمنبع التغذية.
<b>10-2-1 محاكاة الحاكمة المسافية Mho:</b>		$R_F$ : مقاومة العطل.
مكتبة برنامج $\alpha$ -Matlab لا تحوي نموذج جاهز للحاكم المسافية، لذلك من الضروري بناء نموذج خاص للحاكم المسافية بالاعتماد على المعادلات الممثلة لخصائص التشغيل الحاكمة.		$I_F$ : تيار العطل.
يمكن الحصول على خصائص التشغيل الحاكمة المسافية Mho أما مقارنة بالطور (Phase comparison) أو مقارنة المطال (Amplitude comparison) لموجهات الأشعة الخاصة بإشارات التوتر والتيار لخط المحمي (Ezechukwu ., 2013).		$V_{se}$ : التوتر الطوري التسلسلي المحققون من جهاز Sssc.
- المقارنة بالطور: مطبقة بشكل كبير في الحواكم الحديثة وهي مستخدمة في هذا البحث حيث تمثل خصائص الحاكمة		$I_{sh}$ : التيار الطوري التفرعى المحققون من جهاز Statcom.
		$I_{1s}$ : تيار التابع الموجب الطوري عند موقع الحاكمة.
		$I_{2s}$ : تيار التابع السالب الطوري عند موقع الحاكمة.
		$I_{0s}$ : تيار التابع الصفرى الطوري عند موقع الحاكمة.
		$I_{0line}$ : تيار التابع الصفرى الطوري لخط النقل.
		$I_{1line}$ : تيار التابع الموجب الطوري لخط النقل.
		$I_{2line}$ : تيار التابع السالب الطوري لخط النقل.
		$V_{1s}$ : توتر التابع الموجب الطوري عند موقع الحاكمة.
		$V_{2s}$ : توتر التابع السالب الطوري عند موقع الحاكمة.
		$V_{0s}$ : توتر التابع الصفرى الطوري عند موقع الحاكمة.
		$V_{1se}$ : توتر التابع الموجب الطوري التسلسلي المحققون من جهاز Sssc.
		$V_{2se}$ : توتر التابع السالب الطوري التسلسلي المحققون من جهاز Sssc.
		$V_{0se}$ : توتر التابع الصفرى الطوري التسلسلي المحققون من جهاز Sssc.
		$I_{1sh}$ : تيار التابع الموجب الطوري التفرعى المحققون من جهاز Statcom.
		$I_{2sh}$ : تيار التابع السالب الطوري التفرعى المحققون من جهاز Statcom.

الممانعة وهذا يتم بتقسيم العلاقات السابقتين على  $I_r$  ومنه

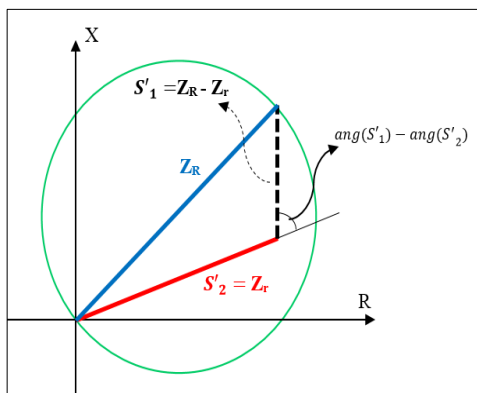
نحصل على العلاقات:

$$S'_1 = Z_R - Z_r \quad (35)$$

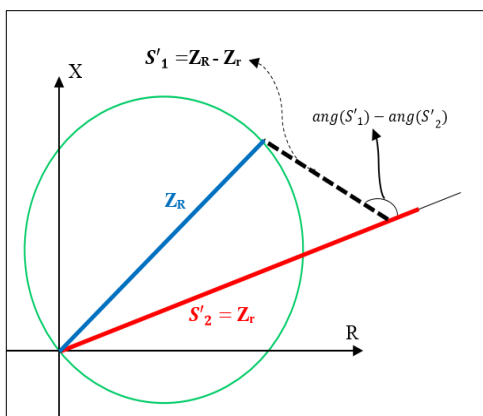
$$S'_2 = Z_r \quad (36)$$

حيث:  $Z_r$ : الممانعة المنظورة من الحاكمة.

يوضح الشكل (12-1) حاكمة الحماية Mho ذاتية الاستقطاب وشروط التشغيل المتواقة، حيث يظهر أن الممانعة المقاسة  $Z_r$  تقع داخل دائرة الخصائص والفرق الزاوي بين  $S_1, S_2$  يكون أقل من 90 درجة والذي يوافق شروط التشغيل الحاكمة، بينما يوضح الشكل (12-2) شروط التشغيل غير المتواقة، حيث يظهر أن الممانعة المقاسة  $Z_r$  تقع خارج دائرة الخصائص، والفرق الزاوي بين  $S_1, S_2$  يكون أكبر من 90 درجة والذي لا يوافق شروط التشغيل الحاكمة (J et al., (1994), 11).



الشكل (12-1) خصائص التشغيل المتواقة للحاكمة Mho



الشكل (12-2) خصائص التشغيل غير المتواقة للحاكمة Mho

الماسافية عموماً باستخدام إشارتي دخل للمقارن

وهما  $S_1, S_2$  وفق Comparator

$$S_1 = I_r Z_R - K_1 V_r \quad (29)$$

$$S_2 = K_2 V_r + K_3 I_r Z_R + K_4 V_{pol} \quad (30)$$

حيث:

$S_1, S_2$ : إشارات دخل المقارن.

$Z_R$ : ممانعة وصول الحاكمة.

$V_r$ : توتر حلقة الممانعة.

$I_r$ : تيار حلقة العطل.

$V_{pol}$ : توتر الاستقطاب.

$K_4, K_3, K_2, K_1$ : ثوابت عقدية تحدد خصائص الحاكمة.

تعتبر الإزاحة الزاوية للأشعة:  $S_1, S_2$  موجبة إذا كان

متقدم على  $S_2$  ويعمل المقارن الطوري إذا تحقق الشرط:

$$90^\circ \leq \hat{S}_1 - \hat{S}_2 \leq 90^\circ \quad (31)$$

أو

$$|\hat{S}_1 - \hat{S}_2| \leq 90^\circ \quad (32)$$

هذا الطريقة مستخدمة في تطوير خصائص الحاكمة المسافية Mho، حيث من الممكن أن تصمم خصائص التشغيل على أي شكل بتغيير قيم بارمترات  $K$  في مدخلات المقارن.

## 10-2-2 خصائص الحاكمة المسافية Mho ذاتية الاستقطاب

**Mho self-polarized characteristics:** تحدد خصائص الحاكمة Mho Self-Polarized بدائرة في مستوى الممانعة  $R-X$ ، هذه الخصائص يمكن أن نحصل

عليها من العلاقات (29) - (30) بضبط:

$$K_2 = K_1 = 1$$

$$K_4 = K_3 = 0$$

ومنه:

$$S_1 = I_r Z_R - V_r \quad (33)$$

$$S_2 = V_r \quad (34)$$

لتمثيل خصائص الحاكمة Mho في مستوى  $R-X$  من الضروري تمثيل إشارتي دخل المقارن  $S_1, S_2$  في مستوى

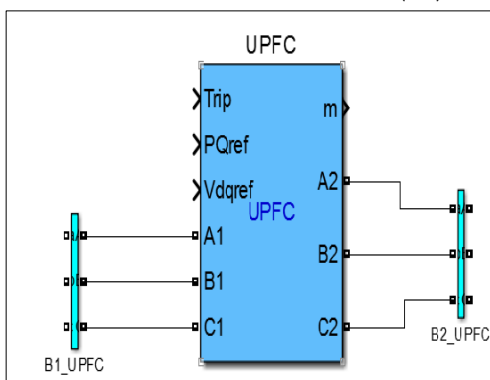
الأول (القسم العلوي) يتم فيه حساب ممانعة التتابع الموجبة الظاهرية كما هو موضح في الشكل (a-14).

الثاني (القسم السفلي) يولد إشارات الفصل إذا تحقق المعيار الزاوي لخصائص الحاكمة Mho ذاتية الاستقطاب، ويفصل القاطع بعد تأخير زمني مناسب حسب منطقة عمل الحاكمة كما هو موضح في الشكل (b-14).

- نموذج العنصر الأرضي: Model ground element: يظهر الشكل (15) نموذج العنصر الأرضي للحاكمة ويمثل خوارزميات عمل الحاكمة في حالة الأعطال الأرضية كما في الجدول (1) مع الأخذ بعين الاعتبار: تعويض تيار التتابع الصفرى ( $K_0 I_0$ ) يحسب ويضاف إلى تيار الطور، توترات الطور وتعويض تيارات الطور هي الآن كميات تشغيل جديدة بدلًا من قيم توترات وتيارات الخط المستخدمة في نموذج العنصر الطور.

#### 4-2-10 نموذج جهاز UPFC : UPFC device

تحوي مكتبة برنامج الـ Matlab على نموذج UPFC جاهز كما الشكل (16):



الشكل (16) نموذج UPFC من مكتبة Matlab

استخدم النموذج السابق مباشرةً كمتحكم بجريان الطاقة ومنظم توتر، وتم تعديل بارامترات النموذج لتوافق خط النقل المدرس.

بارامترات نموذج جهاز الـ UPFC :

- توتر جهاز الـ UPFC [kV] وتردد الشبكة [Hz].

#### 10-3 نموذج الحاكمة المسافية Mho ذاتية الاستقطاب:

##### Model of Mho self -polarized

ضبط مناطق عمل الحاكمة المسافية يعتمد على ممانعة التتابع الموجبة، لذلك مدخلات التوتر والتيار المناسبة مطلوبة لحساب ممانعة التتابع الموجبة المنظورة من الحاكمة عند نقطة الحاكمة في جميع أنواع الأعطال.

يبني النموذج الطوري لخصائص الحاكمة المسافية Mho ذاتية الاستقطاب في بيئة برنامج Matlab اعتماداً على معادلات الممانعة الظاهرية المنظورة من الحاكمة المسافية لكل نوع عطل وفق الجدول (1) ومدخلات المقارن الطوري المعطاة في المعادلات (33) - (34) لخصائص الحاكمة وهذه المدخلات هي مركبة التردد الأساسي لإشارات التوترات والتيارات وفق الشكل (13).

يتتألف نموذج الحاكمة المسافية Mho ذاتية الاستقطاب من 6 عناصر: 3 عناصر منها لحالات الأعطال الطورية (بدون وجود الأرض) و3 عناصر لحالات الأعطال الأرضية (طور مع أرض).

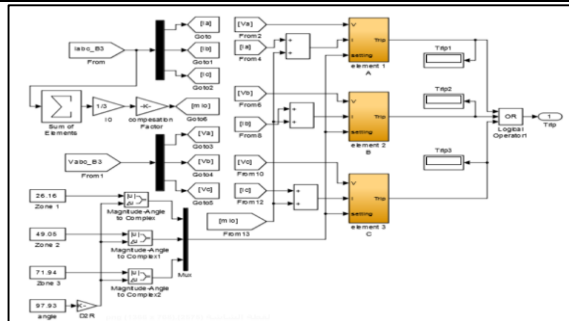
المكونات الهيكيلية لنموذج عنصر الطور في حالة الأعطال الطورية ولنموذج العنصر الأرضي في حالة الأعطال الأرضية تمثل وفق الآتي:

- نموذج عنصر الطور: Phase element model:

يظهر الشكل (13) نموذج عنصر الطور للحاكمة في بيئة برنامج الـ Matlab، حيث تغذى إشارات الدخل (التوترات والتيارات) المختلفة عناصر الحاكمة المناسبة على طول فترة المعايرة لمناطق الحماية الثلاث على شكل شعاع موجه.

نجد في الشكل (13) أن كل عنصر يحتوي ثلاثة بلوكتات مختلفة حسب الطور، محتويات البلاوك الأول أي (البلاوك a-b) موضح في الشكل (14)، البلاوكات الثاني والثالث أي (البلاوكات b-c/c-a) مماثلة للبلاوك الأول.

يحتوي كل بلاوك على قسمين:



الشكل(15) نموذج العنصر الأرضي في الحاكمة

### 3-10-التطبيق العملي: Practical application:

سنقوم في بيئة برنامج Matlab بمحاكاة شبكة نقل مكونة من خمسة خطوط نقل أطوالها متساوية ومنبع قدرة 300 [MVA] و توتر 400[KV] وحمل 260 [MVA] كما في الشكل(17)، يوضح الجدول (2) البيانات الخاصة بخطوط النقل (Purra,et al., 2015, 4)

الجدول (2) البيانات الخاصة بخطوط النقل.

Value	Parameters
Length (Km)	100
R_0 ( $\Omega/km$ )	0.01165
R_1 ( $\Omega/km$ )	0.2676
L_0 (H/km)	0.00867
L_1 (H/km)	0.003008
C_0 (F/km)	12.74E-09
C_1 (F/km)	7.751E-09

بفرض أن جهاز الـ UPFC وسط خط النقل بين قضيب تجميع الثالث وقضيب تجميع الرابع كما في الشكل(17). الحاكمة المسافية سيتم وضعها عند قضيب تجميع الثالث وسنأخذ بعين الاعتبار منطقي الحماية الأولى والثانية والثالثة فقط وفق الآتي:

- 1- المنطقة الأولى: تغطي 80% من الخط الواسع بين قضيب تجميع الثالث وقضيب تجميع الرابع.
- 2- المنطقة الثانية: تغطي الخط الواسع بين قضيب تجميع الثالث وقضيب تجميع الرابع بالإضافة إلى 50% من الخط الواسع بين قضيب تجميع الرابع وقضيب التجميع الخامس.

معدل المخرج التفرعي/ التسلسلي ب [VA].

معامل الكسب التناصبي  $K_P$ .

معامل الكسب التكاملي  $K_I$ .

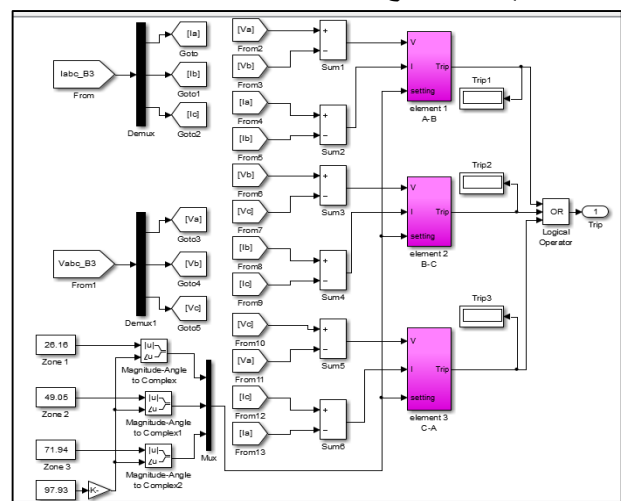
قيمة الاستطاعة المرجعية  $PQ_{ref}$ .

قيمة التوتر المرجعي  $Vdq_{ref}$ .

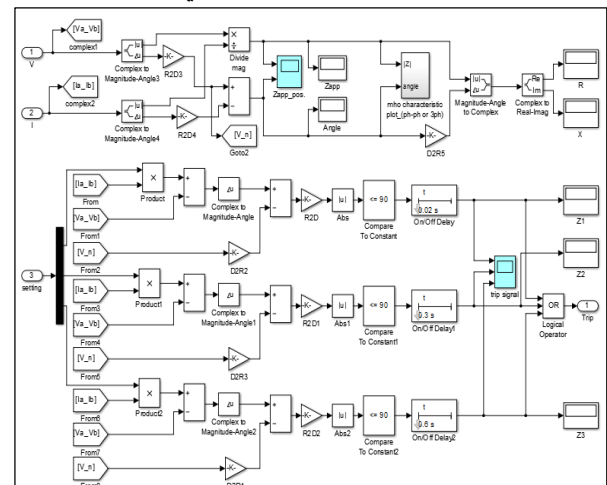
توتر الوصلة المشتركة DC ب [V].

سعة مكثف الربط DC ب Farad.

قيم البارامترات الخاصة بالنموذج يمكن أن تتغير حسب المطلوب وبما يتوافق مع الحالة المدروسة.



الشكل(13) نموذج العنصر الطور في الحاكمة



الشكل (14) البlok الأول من العنصر الطور في الحاكمة

$$\begin{aligned}
 Zone_3 &= 100 * (0.327 \angle 97.93) + \\
 &\quad 0.5 * 100 * (0.327 \angle 97.93) \\
 &+ \\
 0.2 * 100 * (0.327 \angle 97.93) \\
 Zone_3 &= 71.94 \angle 97.93^\circ \Omega \\
 t_3 &= 0.6[s] \quad \text{زمن تأخير المنطقة الثانية هو} \\
 &\quad \text{عامل التعويض: } K_0 \\
 K_0 &= \frac{Z_{034} - Z_{134}}{Z_{134}} \\
 Z_{034} &= 116.45 \angle 85.23 \\
 Z_{134} &= 32.72 \angle 97.93
 \end{aligned}$$

ومنه:

$$\begin{aligned}
 K_0 &= 2.586 \angle -17.58 \\
 K_0 &= 2.488 - 0.705 i
 \end{aligned}$$

عدد واتجاه مناطق المعايرة ووصول المناطق و زمن التأخير يمكن أن تتغير حسب المطلوب.

البيانات الخاصة بجهاز ال UPFC المركب وسط خط النقل الواسط بين قضيبتي تجميع الثالث والرابع موضحة بالجدول(4):

الجدول(4) بيانات جهاز ال UPFC

Parameters	Values
Shunt and Series converter rating	50 MVA
System nominal voltage and frequency	400 KV F=60 HZ
Vac Regulator gains	
Current Regulator gains	
Bypass breaker	Initially closed and opens at t = 10s
P reference	
Q reference	0.3 pu.
V <sub>dq</sub> ref	0.05 pu
DC link nominal voltage	40 kV
DC link capacitance	750e-6 F

#### 4-9 النتائج و المناقشة:

بناء على المحاكاة الموضحة في الشكل (17) وعلى اعتبار أن (80-70) % من الأعطال التي تحصل في خطوط النقل هي

3- المنطقة الثالثة: تغطي الخط الواسط بين قضيب تجميع الثالث وقضيب تجميع الرابع بالإضافة إلى الخط الواسط بين قضيب تجميع الرابع وقضيب التجميع الخامس و 20% من الخط الواسط بين قضيب تجميع الخامس وقضيب التجميع السادس.

بناء على البيانات الخاصة بخطوط النقل الواردة في الجدول (2) يمكن حساب ممانعات التتابع الموجبة والسلبية والصفيرية لخطوط النقل مع الأخذ بعين الاعتبار [Hz] F=60 تحصل على النتائج التالية في الجدول(3):

الجدول(3) ممانعات التتابع الموجبة والسلبية والصفيرية

Z <sub>0</sub> [Ω/km]	Z <sub>1</sub> =Z <sub>2</sub> [Ω/km]
1.1645∠85.23	0.3272 ∠97.93

يمكن إيجاد خصائص الحاكمة Mho ذاتية الاستقطاب التي تم اختيارها لحماية خطوط النقل والتي تم وضعها عند قضيب تجميع الرابع لها معايرات المناطق التالية وفق الآتي: وصول المنطقة الأولى:

$$\begin{aligned}
 Zone_1 &= 0.8 * L_{line\ 3-4} * Z_{1\ line\ 3-4} \\
 Zone_1 &= 0.8 * 100 \\
 &\quad * (0.327 \angle 97.93) \\
 Zone_1 &= 26.16 \angle 97.93^\circ \Omega
 \end{aligned}$$

هذه المنطقة ليس لها تأخير زمني أي لحظية، لكن في الواقع العملي تحتاج زمن قصير جداً لاستجابة التجهيزات لذلك

يضبط عند زمن [ms] t<sub>1</sub> = 2 وصول المنطقة الثانية:

$$\begin{aligned}
 Zone_2 &= L_{line\ 3-4} * Z_{1\ line\ 3-4} + \\
 &\quad 0.5 * L_{line\ 4-5} * Z_{1\ line\ 4-5} \\
 Zone_2 &= 100 * (0.327 \angle 97.93) + \\
 &\quad 0.5 * 100 * (0.327 \angle 97.93) \\
 Zone_2 &= 49.05 \angle 97.93^\circ \Omega
 \end{aligned}$$

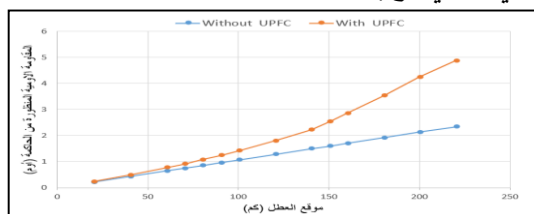
زمن تأخير المنطقة الثانية هو t<sub>2</sub> = 0.3[s] وصول المنطقة الثالثة:

$$\begin{aligned}
 Zone_3 &= L_{line\ 3-4} * Z_{1\ line\ 3-4} + \\
 &\quad L_{line\ 4-5} * Z_{1\ line\ 4-5} \\
 &+ \\
 0.2 * L_{line\ 5-6} * Z_{1\ line\ 5-6}
 \end{aligned}$$

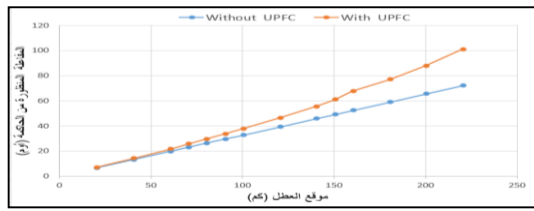
الجدول(6) استجابة الحاكمة المسافية مع وجود UPFC

Zone3	Zone2	Zone1	استجابة الحاكمة	الممانعة المنظورة من الحاكمة بدون UPFC وجود	موقع العطل (كم)
		Trip	0.233+6.908 i	20	
		Trip	0.488+14.101 i	40	
		Trip	0.768+21.604 i	60	
	Trip		0.906+25.564 i	70	
	Trip		1.077+29.448 i	80	
	Trip		1.239+33.618 i	90	
	Trip		1.418+37.667 i	100	
Trip			1.794+46.306 i	120	
Trip			2.218+55.417 i	140	
Trip			2.531+61.024 i	150	
Trip			2.859+67.640 i .702+52.323 i	160	
Trip			3.530+76.900 i	180	
Trip			4.245+87.737 i	200	
Trip			4.871+100.97 i	220	

يظهر الشكل (18) تغير المقاومة المنظورة من الحاكمة المسافية مع تغير موقع العطل، كما يظهر الشكل (19) تغير المفأولة المنظورة من الحاكمة المسافية مع تغير موقع العطل وذلك في حالتي مع/ بدون وجود جهاز UPFC :



الشكل(18) تغير المقاومة المنظورة من الحاكمة مع/ بدون جهاز UPFC مع تغير موقع العطل

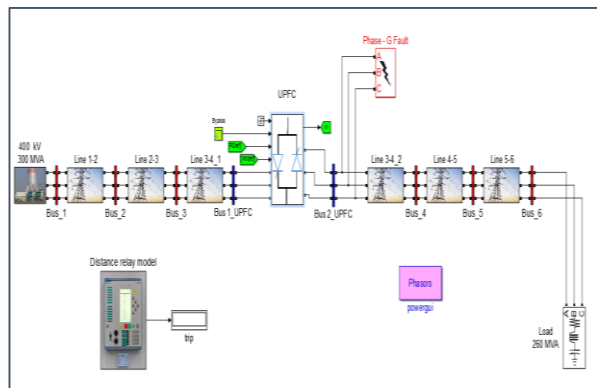


الشكل(19) تغير المفأولة المنظورة من الحاكمة مع/ بدون جهاز UPFC مع تغير موقع العطل.

من نوع عطل طور مع الأرض، سنقوم بدراسة أثر تغيير موقع هذا النوع من العطل على استجابة الحاكمة المسافية الموجودة UPFC عند قضيب تجميع الثالث مع/ بدون وجود جهاز UPFC نحصل على النتائج في الجدول (5) والجدول (6):

الجدول(5) استجابة الحاكمة المسافية بدون وجود UPFC

Zone3	Zone2	Zone1	استجابة الحاكمة	الممانعة المنظورة من الحاكمة بدون UPFC وجود	موقع العطل (كم)
		Trip	0.213+ 6.540 i	20	
		Trip	0.425+13.08 i	40	
		Trip	0.638+19.621 i	60	
		Trip	0.745+22.8914	70	
		Trip	0.851+26.161 i	80	
		Trip	0.957+29.432 i	90	
		Trip	1.064+32.702 i	100	
		Trip	1.276+39.242 i	120	
		Trip	1.489+45.783 i	140	
		Trip	1.596+49.053 i .702+52.323 i	150	
		Trip	1.702+52.323 i .702+52.323 i	160	
		Trip	1.915+58.863 i	180	
		Trip	2.128+65.404 i	200	
		Trip	2.340+71.944 i	220	



الشكل(17) محاكاة خط النقل في بيئة برنامج Matlab مع وجود جهاز UPFC وسط خط النقل

على أداء الحاكمة المسافية، حيث أوضحت نتائج النمذجة والمحاكاة تأثير جهاز  $\Delta$  UPFC على الممانعة المنظورة من الحاكمة المسافية، هذا التأثير سبب عمل الحاكمة وفق Under reach لجميع مواقع العطل مع وجود جهاز  $\Delta$  UPFC وسط خط النقل، حيث الممانعة المنظورة من الحاكمة المسافية في هذه الحالة أكبر من الممانعة بدون وجود جهاز  $\Delta$  UPFC.

تظهر النتائج بوضوح اعتماد عمل الحاكمة المسافية على العديد من الأمور منها تصميمية وشروط العمل وهذا يتضمن موقع ونوع العطل على الخط، أخيراً يتطلب التغلب على تأثير جهاز  $\Delta$  UPFC معايرة متكيفة للحاكمية المسافية لحدود الفصل بدلاً من استخدام معايرة من النوع الثابت.

**التمويل:** هذا البحث ممول من جامعة دمشق وفق رقم التمويل(501100020595).

- مما سبق نجد في حالة عدم وجود جهاز  $\Delta$  UPFC و بناءً على النتائج في الجدول (5-1) تزداد الممانعة المنظورة من قبل الحاكمة المسافية مع زيادة موقع العطل، وتسجّب الحاكمة المسافية بشكل مناسب حسب موقع العطل و حسب ضبط مناطق الحماية، ولكن في حالة وجود جهاز  $\Delta$  UPFC وبناءً على النتائج في الجدول (2-5) تتغير الممانعة المنظورة من قبل الحاكمة المسافية عما عنه في حالة عدم وجود جهاز  $\Delta$  UPFC ويسبب تغيير استجابة الحاكمة المسافية و يظهر ذلك عند موقع العطل عند مسافات ( 150- 120- 80-70 ) كم، حيث وجدنا في حالة عدم وجود جهاز  $\Delta$  UPFC وحدوث عطل طور مع الأرض وعند مسافة 70-80 كم ، تستجّب الحاكمة المسافية في مثل هذه الحالة في منطقة العمل الأولى، ولكن مع وجود جهاز  $\Delta$  UPFC فإن الحاكمة المسافية تستجّب في منطقة العمل الثانية بدلاً من منطقة العمل الأولى إي مع وجود تأخير زمني وهذا غير مناسب، فقد يؤدي هذا إلى ضرر في التجهيزات و زيادة عدد مرات الصيانة و ما يتربّط على ذلك من زيادة تكاليف في شبكة النقل.

كذلك الأمر عند مسافة 120-140-150كم، تستجّب الحاكمة المسافية في مثل هذه الحالة في منطقة العمل الثانية بدون وجود جهاز  $\Delta$  UPFC، ولكن مع وجود جهاز  $\Delta$  UPFC فإن الحاكمة المسافية تستجّب في منطقة العمل الثالثة بدلاً من منطقة العمل الثانية، إي مع وجود تأخير زمني وهذا غير مناسب أيضاً، فقد يؤدي هذا إلى ضرر في التجهيزات و زيادة عدد مرات الصيانة و ما يتربّط على ذلك من زيادة تكاليف في شبكة النقل.

## الخلاصة: Conclusion

تم في هذا البحث بناء نموذج الطوري للحاكمة المسافية Mho ذاتية الاستقطاب في بيئة برنامج Matlab اعتماداً على معادلات الممانعة الظاهرية المنظورة من الحاكمة المسافية UPFC ومدخلات المقارن الطور، وتم دراسة تأثير جهاز  $\Delta$

## References:

- 1- الجابي، سميح، وزيidan، خالد. (2015). حماية نظم القدرة الكهربائية. ط:1. منشورات جامعة دمشق. 636.
- 2- جيلاني، محمود. (2019). نظم الحماية الكهربائية. ط:2. منشورات جامعة القاهرة. 435.
- 3- Ciufo, J, &Cooperberg, A. (2022). Power System Protection Fundamentals and Applications. IEEE Press on Power and Energy Systems.563.
- 4- Das, J. (2018). Power Systems Protective Relaying.4'h. CRC Press Taylor & Francis Group.727.
- 5- Gorakshanath, A, Ganesh, P, & Mohan, T. (2014). Impact analysis of STATCOM on Distance Relay. International Journal of Innovative Research in Science Engineering and Technology, 3(3), 90-97.
- 6- Mohamed Z, & Abdelaziz, C. (2016). Impact of SSSC on Measured Impedance in Single Phase to Ground Fault Condition on 220 kV Transmission Line. Leonardo Journal of Sciences, 20,109-124.
- 7- N, Hingorani, &L, Gyugyi. (2000). Understanding FACTS concepts and technology of flexible AC transmission systems. IEEE Press.445.
- 8- Shah, P. (2011). Impact of Statcom on Distance Relays. Master, Electrical Engineering, California State University. <https://scholarworks.calstate.edu/downloads/r494vq02q>.
- 9- A. E. (2013). Application of Comparators in Modern Power System Protection and Control. IOSR Journal of Electrical and Electronics Engineering, 8(3), 58-63.
- 10- J, R, & A, G. (1994, May 4–6), Z =V/I Does Not Make a Distance Relay. 48th Annual Georgia, Tech Protective Relaying Conference. Atlanta, Georgia.
- 11- Indumathi, M, &N.N. (2020). Distance Relay Algorithm for Tapped Transmission Line. International Journal of Engineering Research &Technology, 9(7), 1643-1646.